



Risultati prima dell'assunzione presso l'impianto (T0)

Metalli

Tab1. Distribuzione metalli corretti per peso specifico dell'urina; valori sotto il limite di rilevabilità posti uguali alla metà della soglia e valori estremi inclusi; n=55, nPiombo=54; fase T0.

Parametro	Media	Std Dev	Mediana	Minimo	Massimo	Range
Arsenico $\mu\text{g/L}$	43.65	59.66	20.27	2.85	247.93	245.08
Berillio $\mu\text{g/L}$	0.16	0.07	0.16	0.02	0.37	0.35
Cadmio $\mu\text{g/L}$	0.87	0.73	0.68	0.11	4.14	4.03
Cobalto $\mu\text{g/L}$	0.28	0.29	0.22	0.04	2.09	2.05
Cromo $\mu\text{g/L}$	0.24	0.35	0.15	0.03	2.30	2.27
Rame $\mu\text{g/L}$	12.71	6.36	11.27	2.03	30.05	28.02
Mercurio $\mu\text{g/L}$	1.89	1.39	1.45	0.46	6.82	6.36
Iridio ng/L	1.84	0.92	1.71	0.55	5.76	5.21
Manganese $\mu\text{g/L}$	0.14	0.13	0.11	0.04	1.01	0.97
Nichel $\mu\text{g/L}$	1.34	0.88	1.18	0.14	3.83	3.69
Palladio ng/L	26.05	21.93	22.59	3.84	107.27	103.43
Platino ng/L	5.79	5.15	4.09	1.47	32.11	30.64
Rodio ng/L	22.19	12.50	20.52	3.36	49.46	46.10
Antimonio $\mu\text{g/L}$	0.09	0.05	0.08	0.01	0.21	0.20
Stagno $\mu\text{g/L}$	1.00	1.38	0.66	0.11	9.42	9.31
Tallio $\mu\text{g/L}$	0.67	1.18	0.36	0.06	6.29	6.23
Vanadio $\mu\text{g/L}$	0.04	0.04	0.03	0.01	0.31	0.30
Zinco $\mu\text{g/L}$	570.19	337.90	584.35	69.14	1714.04	1644.90
Piombo $\mu\text{g/L}$	25.32	14.59	21.32	7.67	68.25	60.58

Tab2. Numero di soggetti con valori estremi, outlier o <LOD (n=55, nPiombo=54)

Parametro	Num outlier	Num estremi	Num <LOD
Arsenico	3	4	-
Berillio	1	-	1
Cadmio	1	1	-
Cobalto	1	1	-
Cromo	2	2	-
Rame	1	-	-
Mercurio	2	-	-
Iridio	1	1	-
Manganese	1	1	-
Nichel	2	-	-
Palladio	1	3	2

<i>Platino</i>	4	1	-
<i>Rodio</i>	-	-	2
<i>Antimonio</i>	2	-	1
<i>Stagno</i>	3	3	-
<i>Tallio</i>	1	5	-
<i>Vanadio</i>	5	1	-
<i>Zinco</i>	2	-	-
<i>Piombo</i>	3	-	-

Tab3. Distribuzione cadmio corretto per peso specifico dell'urina stratificata per abitudine al fumo calcolata in base alle concentrazioni urinarie di cotinina; valori sotto il limite di rilevabilità posti uguali alla metà della soglia e valori estremi inclusi; n=55; fase T0.

<i>Fumatore</i>	<i>n</i>	<i>Media</i>	<i>Std Dev</i>	<i>Mediana</i>	<i>Minimo</i>	<i>Massimo</i>	<i>Range</i>
<i>Non fumatore/esposto</i>	25	0.67	0.42	0.55	0.11	1.63	1.52
<i>Forte fumatore</i>	30	1.10	0.94	0.83	0.27	4.14	3.87

Il test di Wilcoxon-Mann-Whitney indica che c'è una differenza statisticamente significativa al T0 tra i forti fumatori e non fumatori/fumatori lievi (p-value=0.049).

Tab4. Distribuzione metalli corretti per peso specifico dell'urina stratificati per esposizione; valori sotto il limite di rilevabilità posti uguali alla metà della soglia e valori estremi inclusi valori estremi inclusi; n=55, nPiombo=54; fase T0.

NE (n=11)

<i>Parametro</i>	<i>Media</i>	<i>Std Dev</i>	<i>Mediana</i>	<i>Minimo</i>	<i>Massimo</i>	<i>Range</i>
<i>Arsenico µg/L</i>	40.32	50.14	10.14	3.33	143.56	140.23
<i>Berillio µg/L</i>	0.12	0.09	0.10	0.02	0.37	0.35
<i>Cadmio µg/L</i>	0.94	0.64	0.92	0.21	2.06	1.85
<i>Cobalto µg/L</i>	0.42	0.57	0.27	0.10	2.08	1.98
<i>Cromo µg/L</i>	0.34	0.65	0.15	0.07	2.29	2.22
<i>Rame µg/L</i>	13.41	7.01	12.38	2.03	27.20	25.18
<i>Mercurio µg/L</i>	3.14	1.91	2.75	0.49	6.82	6.33
<i>Iridio ng/L</i>	2.38	1.21	2.00	1.30	5.75	4.45
<i>Manganese µg/L</i>	0.15	0.04	0.15	0.10	0.21	0.11
<i>Nichel µg/L</i>	1.53	1.11	1.70	0.14	3.83	3.69
<i>Palladio ng/L</i>	32.27	27.76	26.78	8.84	107.27	98.43
<i>Platino ng/L</i>	5.95	8.73	3.43	1.78	32.11	30.33
<i>Rodio ng/L</i>	21.38	8.10	20.21	7.96	36.19	28.23
<i>Antimonio µg/L</i>	0.09	0.06	0.08	0.01	0.21	0.20
<i>Stagno µg/L</i>	0.85	0.66	0.72	0.11	2.20	2.09
<i>Tallio µg/L</i>	0.37	0.22	0.32	0.06	0.85	0.79
<i>Vanadio µg/L</i>	0.03	0.01	0.03	0.01	0.05	0.04
<i>Zinco µg/L</i>	522.97	363.21	584.35	69.14	1141.51	1072.37
<i>Piombo µg/L</i>	20.11	16.97	14.95	7.67	65.32	57.65

PE (n=44, nPiombo=43)

<i>Parametro</i>	<i>Media</i>	<i>Std Dev</i>	<i>Mediana</i>	<i>Minimo</i>	<i>Massimo</i>	<i>Range</i>
<i>Arsenico µg/L</i>	44.48	62.30	21.74	2.85	247.93	245.09
<i>Berillio µg/L</i>	0.17	0.07	0.17	0.06	0.30	0.24
<i>Cadmio µg/L</i>	0.85	0.76	0.67	0.11	4.14	4.03
<i>Cobalto µg/L</i>	0.24	0.17	0.21	0.04	0.94	0.91
<i>Cromo µg/L</i>	0.22	0.23	0.15	0.03	1.38	1.36
<i>Rame µg/L</i>	12.53	6.26	11.25	2.95	30.05	27.10
<i>Mercurio µg/L</i>	1.57	1.04	1.31	0.46	3.87	3.40
<i>Iridio ng/L</i>	1.71	0.79	1.50	0.55	4.42	3.87
<i>Manganese µg/L</i>	0.14	0.14	0.11	0.04	1.01	0.97
<i>Nichel µg/L</i>	1.29	0.82	1.13	0.24	3.82	3.58
<i>Palladio ng/L</i>	24.49	20.31	22.25	3.84	102.98	99.14
<i>Platino ng/L</i>	5.75	3.95	4.68	1.47	17.20	15.73
<i>Rodio ng/L</i>	22.39	13.44	20.60	3.36	49.46	46.10
<i>Antimonio µg/L</i>	0.08	0.05	0.07	0.03	0.21	0.18
<i>Stagno µg/L</i>	1.04	1.51	0.62	0.15	9.42	9.27
<i>Tallio µg/L</i>	0.74	1.31	0.36	0.08	6.29	6.21
<i>Vanadio µg/L</i>	0.05	0.05	0.03	0.01	0.31	0.30
<i>Zinco µg/L</i>	581.99	334.66	579.75	111.85	1714.04	1602.18
<i>Piombo µg/L</i>	26.50	13.95	22.24	9.03	68.25	59.22

Tab5. Confronto metalli NE-PE corretti per peso specifico dell'urina; valori sotto il limite di rilevabilità posti uguali alla metà della soglia e valori estremi inclusi; media, mediana, p-value del test di Wilcoxon-Mann-Whitney; nNE=11, nPE=44, nPiombo=43; fase T0

<i>Parametro</i>	<i>Media NE</i>	<i>Mediana NE</i>	<i>Media PE</i>	<i>Mediana PE</i>	<i>p-value</i>
<i>Arsenico µg/L</i>	40.32	10.14	44.48	21.74	0.666
<i>Berillio µg/L</i>	0.12	0.10	0.17	0.17	0.022
<i>Cadmio µg/L</i>	0.94	0.92	0.85	0.67	0.548
<i>Cobalto µg/L</i>	0.42	0.27	0.24	0.21	0.360
<i>Cromo µg/L</i>	0.34	0.15	0.22	0.15	0.941
<i>Rame µg/L</i>	13.41	12.38	12.53	11.25	0.606
<i>Mercurio µg/L</i>	3.14	2.75	1.57	1.31	0.006
<i>Iridio ng/L</i>	2.38	2.00	1.71	1.50	0.036
<i>Manganese µg/L</i>	0.15	0.15	0.14	0.11	0.026
<i>Nichel µg/L</i>	1.53	1.70	1.29	1.13	0.592
<i>Palladio ng/L</i>	32.27	26.78	24.49	22.25	0.211
<i>Platino ng/L</i>	5.95	3.43	5.75	4.68	0.226
<i>Rodio ng/L</i>	21.38	20.21	22.39	20.60	0.908
<i>Antimonio µg/L</i>	0.09	0.08	0.08	0.07	0.768
<i>Stagno µg/L</i>	0.85	0.72	1.04	0.62	0.966
<i>Tallio µg/L</i>	0.37	0.32	0.74	0.36	0.974
<i>Vanadio µg/L</i>	0.03	0.03	0.05	0.03	0.360
<i>Zinco µg/L</i>	522.97	584.35	581.99	579.75	0.563
<i>Piombo µg/L</i>	20.11	14.95	26.50	22.24	0.065

Idrocarburi Policiclici Aromatici (OH-IPA)

Tab6. Statistica descrittiva inerente OH-IPA nei campioni di urine del gruppo dei lavoratori del termovalorizzatore della provincia di Torino (Gerbido) relativamente all'insieme di tutti i dati e per possibile rischio di esposizione; n=55; fase T0. Valori espressi con formato fisso a tre cifre. Dati espressi in ng/g creatinina.

	N ^a	X _{MIN}	P ₂₅	P ₅₀	GM	Media	P ₇₅	P ₉₀ ^b	P ₉₅ ^b	X _{MAX}
Tutti i dati										
1-OH-NAP	55 (0)	131	617	1390	1860	4490	7200	10900	22400	32700
2-OH-NAP	55 (0)	934	2300	5320	5080	7400	9910	14800	23600	28900
2-OH-FLU	55 (0)	50.6	150	214	321	619	885	1410	2680	4010
3-OH-FLU	55 (2)	11.6 ^d	44.8	83.7	146	385	580	1090	1470	2520
9-OH-FLU	55 (0)	90.3	219	346	374	470	550	869	1650	1750
1-OH-PHEN	55 (1)	16.7 ^d	97.0	154	154	187	230	329	421	743
2-OH-PHEN	55 (1)	18.2 ^d	37.4	60.3	60.6	74.7	94.2	133	230	235
3-OH-PHEN	55 (1)	18.1 ^d	62.2	103	107	140	172	265	392	600
4-OH-PHEN	55 (21)	4.66 ^d	11.1	38.8	32.3	50.7	63.2	94.3	164	249
1-OH-PYR	55 (1)	15.0 ^d	59.9	134	121	187	237	438	611	1051
Σ ₁₀ OH-PAH ^c	55	2180	4330	6430	9070	14000	20000	29300	54600	71800
Potenzialmente esposti										
1-OH-NAP	44 (0)	131	594	2130	2020	5070	7650	12300	22400	32700
2-OH-NAP	44 (0)	1270	2830	6150	5760	8200	10900	18800	23600	28900
2-OH-FLU	44 (0)	50.6	153	272	368	705	1181	1471	2680	4010
3-OH-FLU	44 (1)	21.5 ^d	52.4	128	177	446	694	1320	1470	2520
9-OH-FLU	44 (0)	90.3	214	354	384	495	608	869	1650	1750
1-OH-PHEN	44 (1)	16.7 ^d	114	171	169	205	254	373	421	743
2-OH-PHEN	44 (1)	18.2 ^d	37.5	64.9	64.1	79.7	98.4	141	230	235
3-OH-PHEN	44 (1)	18.1 ^d	67.1	109	114	152	183	290	392	600
4-OH-PHEN	44 (14)	4.66 ^d	13.8	45.9	36.0	56.4	70.1	114	164	249
1-OH-PYR	44 (0)	15.0	89.9	152	148	218	258	458	611	1050
Σ ₁₀ OH-PAH ^c	44	2180	4610	10600	10200	15600	22400	33900	54600	71800
Non esposti										
1-OH-NAP	11 (0)	550	642	866	1330	2190	2320	6000	8900	8900
2-OH-NAP	11 (0)	934	1840	2380	3080	4210	4330	9910	13700	13700
2-OH-FLU	11 (0)	58.7	115	181	187	274	226	812	885	885
3-OH-FLU	11 (1)	11.5 ^d	24.9	57.6	68.3	139	126	424	614	614
9-OH-FLU	11 (0)	181	233	320	336	373	435	529	884	884
1-OH-PHEN	11 (0)	62.6	77.7	92.0	106	115	157	194	197	197
2-OH-PHEN	11 (0)	21.3	32.5	44.8	48.5	54.7	73.4	74.5	133	133
3-OH-PHEN	11 (0)	46.0	52.9	71.3	82.4	91	123	143	187	187
4-OH-PHEN	11 (7)	8.15 ^d	9.55	26.3	20.7	27.6	38.8	62.5	69.5	69.5
1-OH-PYR	11 (1)	22.1 ^d	31.3	58.2	53.5	63.6	74.9	124	151	151
Σ ₁₀ OH-PAH ^c	11	2360	3150	4820	5640	7540	6430	18300	24800	24800

^a Numero di dati inclusi nella valutazione statistica (numero di dati < LOQ).

^b Stima indicativa a causa del numero limitato di dati.

^c Somma *medium bound* di 1-OH-NAP, 2-OH-NAP, 2-OH-FLU, 3-OH-FLU, 9-OH-FLU, 1-OH-PHE, 2-OH-PHE, 3-OH-PHE, 4-OH-PHE, 1-OH-PYR.

^d Valore corrispondente a metà del LOQ.

Tab7. Statistica descrittiva inerente OH-IPA nei campioni di urine del gruppo dei lavoratori del termovalorizzatore della provincia di Torino (Gerbido) relativamente all'insieme di tutti i dati e per abitudine al fumo; n=55; fase T0. Valori espressi con formato fisso a tre cifre. Dati espressi in ng/g creatinina.

	N ^a	X _{MIN}	P ₂₅	P ₅₀	GM	Media	P ₇₅ ^b	P ₉₀ ^b	P ₉₅ ^b	X _{MAX}
Forti fumatori (cotinina > 50 ng/mL)										
1-OH-NAP	25 (0)	374	3690	7212	6091	8849	10536	22372	23300	32700
2-OH-NAP	25 (0)	1989	7261	9910	9695	11883	14645	23600	28286	28900
2-OH-FLU	25 (0)	188	490	979	863	1167	1410	2680	3298	4010
3-OH-FLU	25 (0)	76.0	302	614	552	779	1066	1470	2341	2520
9-OH-FLU	25 (0)	142	311	481	477	598	634	1650	1737	1750
1-OH-PHEN	25 (0)	78.9	148	215	212	244	304	421	439	743
2-OH-PHEN	25 (0)	24.4	53.7	84.9	77.1	93.1	105	230	232	235
3-OH-PHEN	25 (0)	39.7	108	162	156	194	225	392	575	600
4-OH-PHEN	25 (9)	4.66 ^d	9.03	42.1	33.9	57.2	85.6	132	164	230
1-OH-PYR	25 (0)	69.7	145	211	220	279	326	611	651	1051
Σ ₁₀ OH-PAH ^c	25	4300	13000	21800	19000	24100	28600	54600	60900	71800
Esposto a fumo (cotinina 1- 50 ng/mL)										
1-OH-NAP	7 (0)	359	617	812	898	1100	2040	2320	2320	2320
2-OH-NAP	7 (0)	934	1400	2380	2718	3590	5320	9090	9090	9090
2-OH-FLU	7 (0)	70.1	144	181	160	169	211	226	226	226
3-OH-FLU	7 (0)	22.5	30.9	57.6	52.9	61.1	86.1	126	126	126
9-OH-FLU	7 (0)	177	200	233	268	282	394	435	435	435
1-OH-PHEN	7 (0)	76.0	92.0	95	98	100	103	145	145	145
2-OH-PHEN	7 (0)	32.5	34.9	40.2	41.8	43.2	44.8	73.4	73.4	73.4
3-OH-PHEN	7 (0)	50.9	52.9	63.7	67.1	69.0	74.2	108	108	108
4-OH-PHEN	7 (4)	8.15 ^d	9.65	24.9	22.8	30.8	60.3	62.5	62.5	62.5
1-OH-PYR	7 (0)	27.6	27.9	58.2	51.7	61.1	63.3	153	153	153
Σ ₁₀ OH-PAH ^c	7	2360	2970	4820	4810	5500	6310	12100	12100	12100
Non fumatori (cotinina < 1 ng/mL)										
1-OH-NAP	23 (0)	131	436	703	637	793	814	1390	2224	2989
2-OH-NAP	23 (0)	1270	2004	3010	3040	3690	4330	6200	9520	13800
2-OH-FLU	23 (0)	50.6	97.7	152	136	159	178	256	266	595
3-OH-FLU	23 (2)	11.6 ^d	29.7	49.5	47.0	55.1	74	84	84	182
9-OH-FLU	23 (0)	90.3	193	283	318	389	473	869	880	884
1-OH-PHEN	23 (1)	16.7 ^d	79	149	125	152	197	230	329	401
2-OH-PHEN	23 (1)	18.2 ^d	29.3	56.8	52.2	64.2	75.7	133	141	198
3-OH-PHEN	23 (1)	18.1 ^d	50.9	84	81	102	146	187	188	389
4-OH-PHEN	23 (8)	7.71 ^d	13.2	38.0	33.9	49.6	63.2	83.7	90.5	249
1-OH-PYR	23 (1)	15.0 ^d	38.6	86.9	81.7	125	151	238	385	586
Σ ₁₀ OH-PAH ^c	23	2180	3590	4600	4900	5580	6130	7400	11000	20000

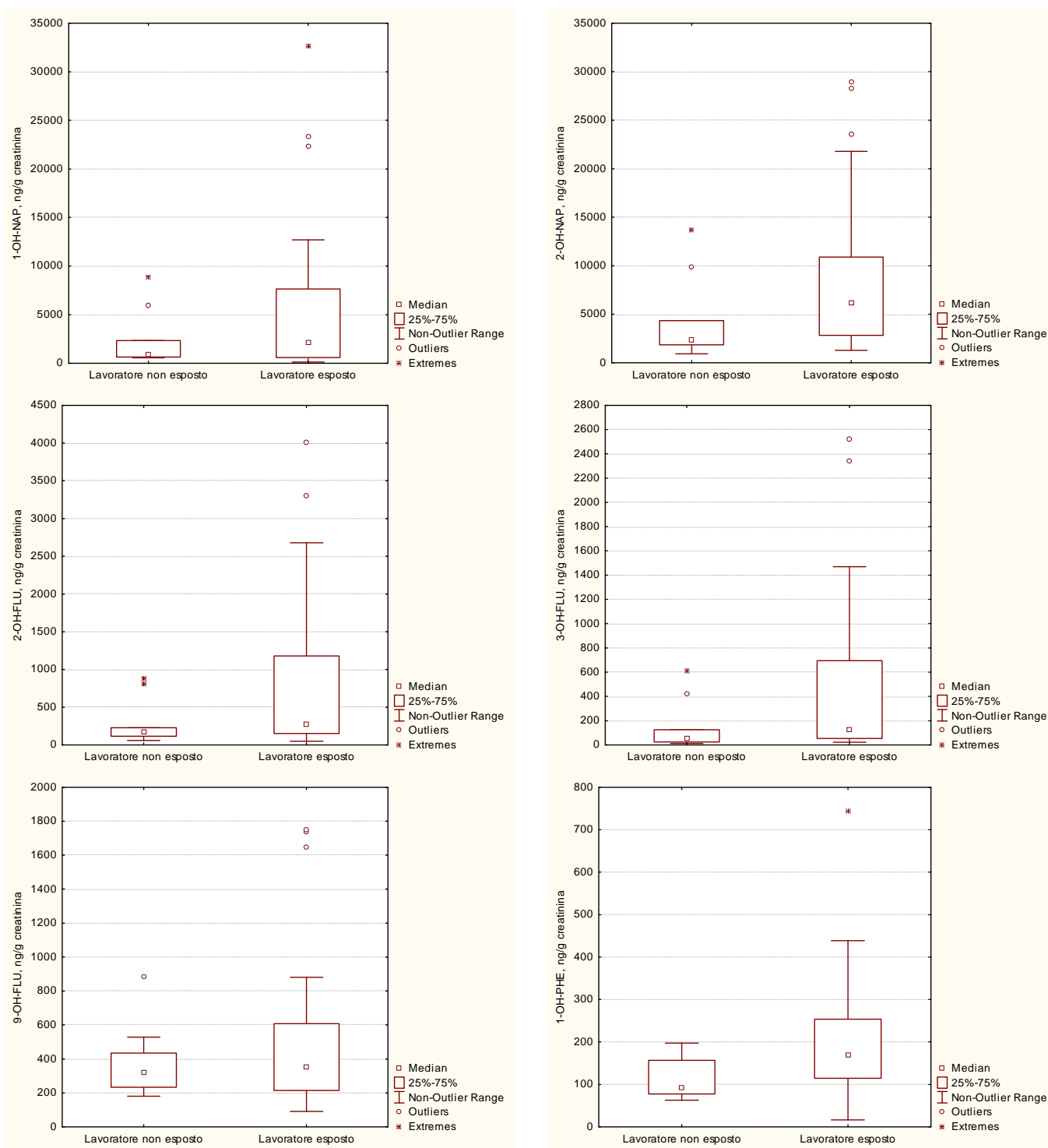
^a Numero di dati inclusi nella valutazione statistica (numero di dati < LOQ).

^b Stima indicativa a causa del numero limitato di dati.

^c Somma *medium bound* di 1-OH-NAP, 2-OH-NAP, 2-OH-FLU, 3-OH-FLU, 9-OH-FLU, 1-OH-PHE, 2-OH-PHE, 3-OH-PHE, 4-OH-PHE, 1-OH-PYR.

^d Valore corrispondente a metà del LOQ.

Fig1. Rappresentazioni box plot delle distribuzioni dei risultati inerenti OH-IPA nei campioni urinari relativi ai due gruppi di lavoratori del termovabbrizzatore della provincia di Torino (Gerbido): non esposti (n=11) e potenzialmente esposti a sostanze pericolose (n=44); fase T0.



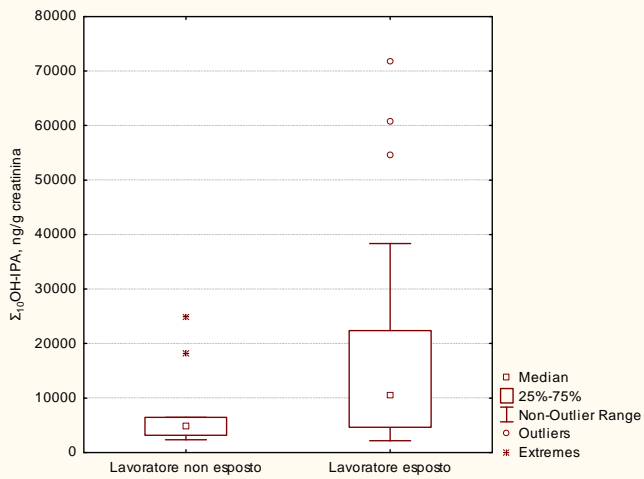
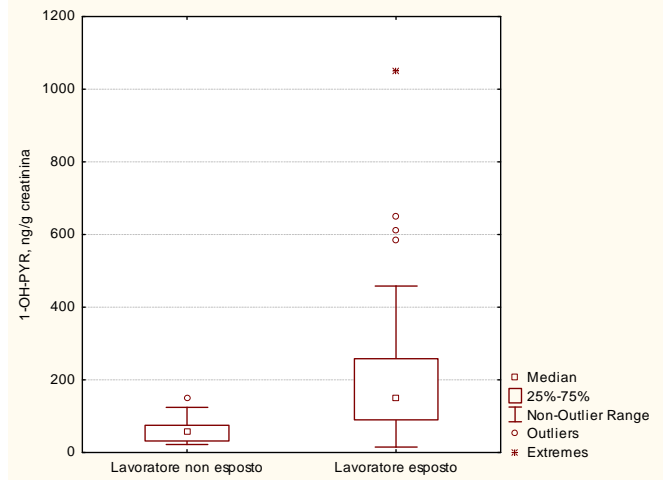
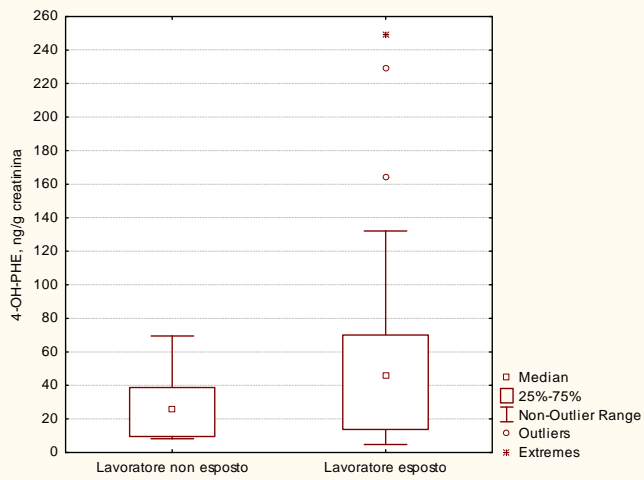
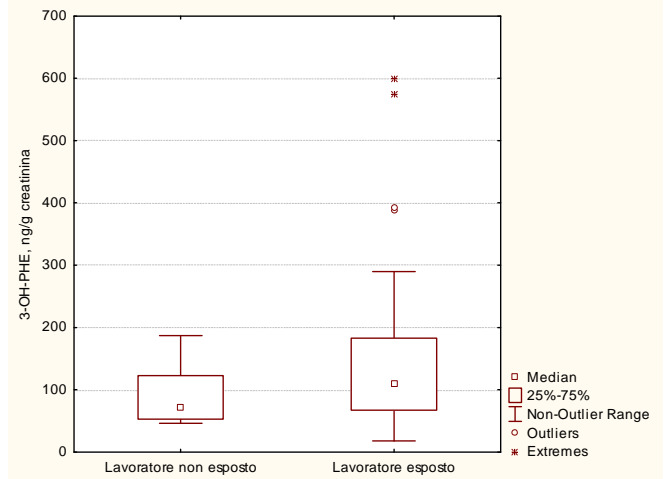
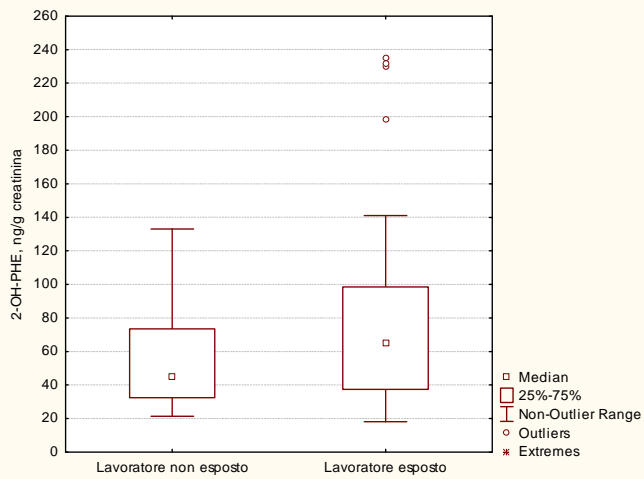
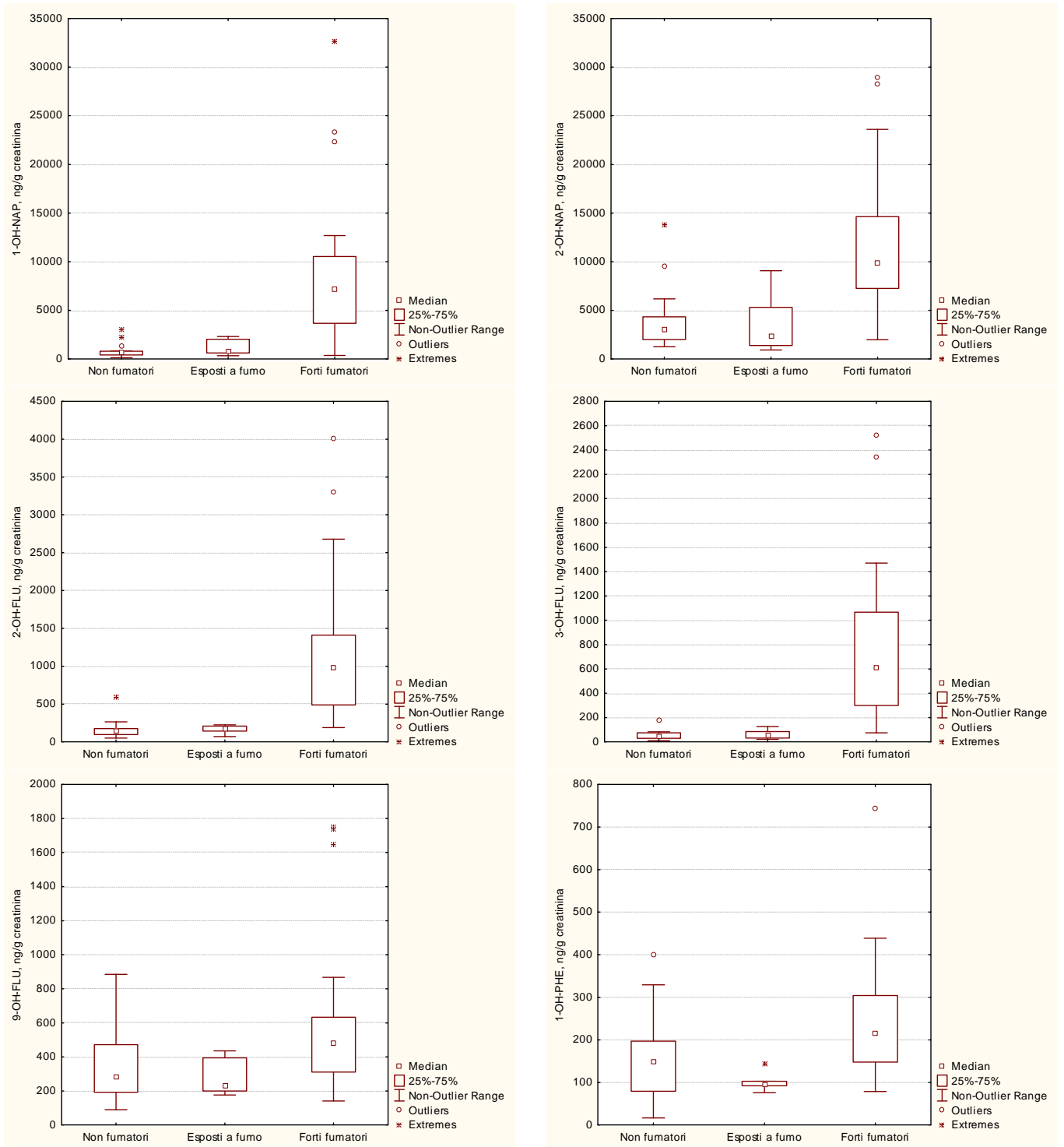
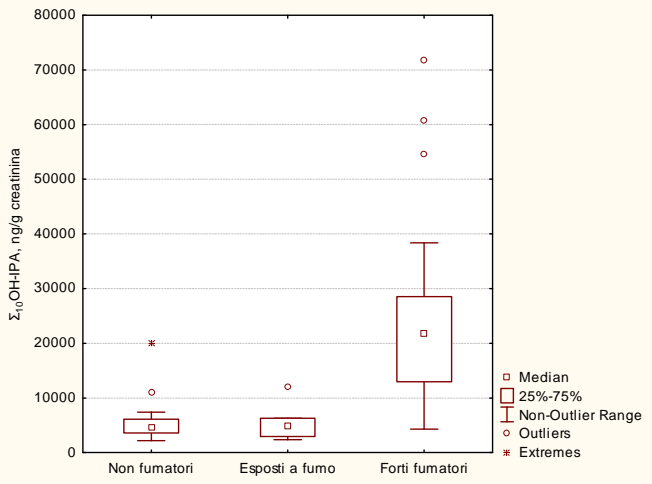
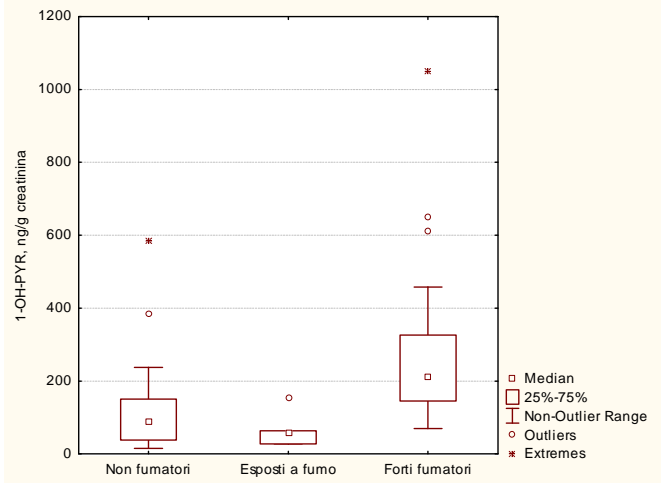
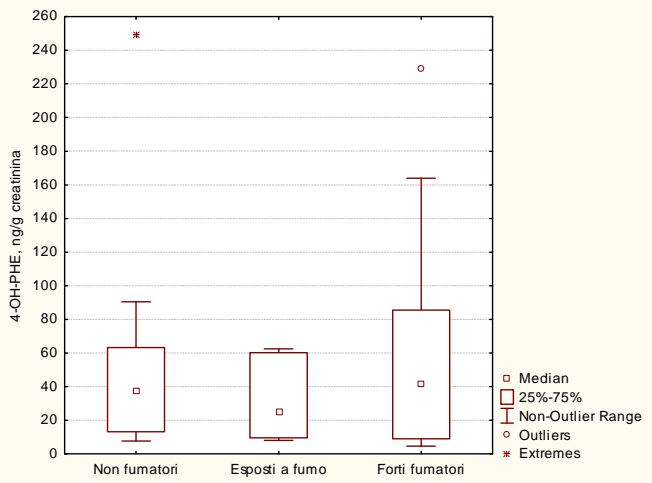
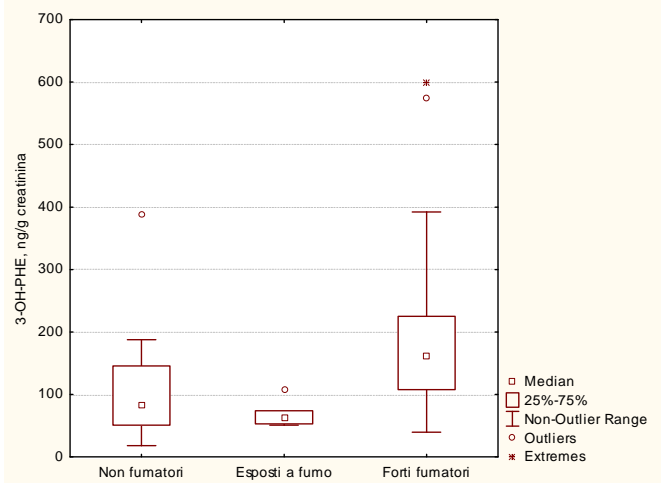
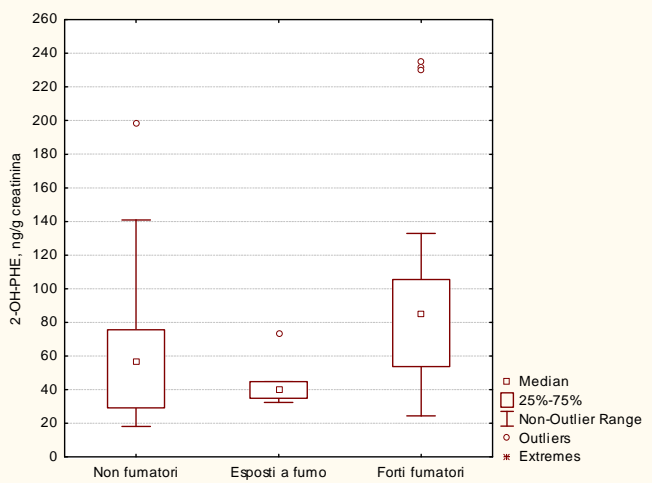


Fig2. Rappresentazioni box plot delle distribuzioni dei risultati inerenti OH-IPA nei campioni urinari relativi ai lavoratori del termovalorizzatore della provincia di Torino (Gerbido) stratificati in base all'abitudine al fumo: non fumatori (n=23; cotinina < 1 ng/mL), esposti al fumo (n=7; cotinina 1-50 ng/mL), e forti fumatori (n=25; cotinina > 50 ng/mL); fase T0.





PCB e Diossine

Tab8. Statistica descrittiva inerente PCDD, PCDF, DL-PCB, e NDL-PCB nei campioni di sangue (siero) umano prelevato da un gruppo di lavoratori del termovalorizzatore della provincia di Torino (Gerbido); n=40; fase T0. Valori medium bound espressi con formato fisso a tre cifre.

Contaminante ^a	N ^b	X _{MIN}	P ₂₅	P ₅₀	GM	Media	P ₇₅	P ₉₀ ^c	P ₉₅ ^c	X _{MAX}
Tutti dati										
PCDD+PCDF	40	2.77	4.89	6.53	7.23	6.01	8.50	11.0	17.1	21.3
DL-PCB	40	2.65	4.40	6.20	7.18	5.66	8.79	13.3	15.3	26.8
TEQ _{TOT} ^d	40	6.92	9.46	13.0	14.4	11.5	16.9	24.2	28.5	48.1
Σ ₆ NDL-PCB ^e	40	44.0	76.5	116	136	113	166	251	328	382
Σ ₃₀ NDL-PCB ^f	40	70.0	125	190	222	177	269	399	525	620
35—50 anni										
PCDD+PCDF	27	2.77	4.97	6.84	7.67	6.43	8.91	12.1	20.7	21.3
DL-PCB	27	3.21	4.97	6.70	7.60	6.42	9.00	11.7	16.4	26.8
TEQ _{TOT} ^d	27	7.50	10.6	13.8	15.3	12.7	17.5	25.3	31.0	48.1
Σ ₆ NDL-PCB ^e	27	60.0	82.0	128	145	116	169	253	350	382
Σ ₃₀ NDL-PCB ^f	27	99.0	133	208	235	187	273	405	527	620

^a Valori espressi in pgWHO-TE97/g lb per PCDD+PCDF, DL-PCB, and TEQTOT, e in ng/g lb per Σ₆NDL-PCB e Σ₃₀NDL-PCB.

^b Numero di dati inclusi nella valutazione statistica.

^c Stima indicativa a causa del numero limitato di dati.

^d PCDD+PCDF+DL-PCB.

^e Somma dei PCB 28, 52, 101, 138, 153, 180.

^f Somma dei PCB 18, 28, 31, 33, 49, 52, 66, 70, 74, 91, 95, 99, 101, 110, 128, 138, 141, 146, 149, 151, 153, 170, 174, 177, 180, 183, 187, 194, 196, 203.

Tab9. Statistica descrittiva inerente PCDD, PCDF, DL-PCB, e NDL-PCB nei campioni di sangue (siero) umano prelevato da un gruppo di lavoratori del termovalorizzatore della provincia di Torino (Gerbido); n=40; fase T0. Valori medium bound espressi con formato fisso a tre cifre. Stratificazione per classi di BMI.

Contaminante ^a	N ^b	X _{MIN}	P ₂₅	P ₅₀	GM	Media	P ₇₅	P ₉₀ ^c	P ₉₅ ^c	X _{MAX}
Normopeso										
PCDD+PCDF	12	4.67	5.42	6.52	6.53	6.68	7.88	8.89	8.91	8.91
DL-PCB	12	3.60	5.03	5.71	6.57	7.30	7.78	14.24	16.36	16.36
TEQ _{TOT} ^d	12	9.38	10.29	12.06	13.26	13.99	15.87	22.24	25.25	25.25
Σ ₆ NDL-PCB ^e	12	62.03	93.04	123.97	131.38	149.85	159.20	306.28	350.27	350.27
Σ ₃₀ NDL-PCB ^f	12	100.65	158.02	207.80	214.92	243.44	250.34	522.45	527.40	527.40
Sovrappeso										
PCDD+PCDF	23	2.77	4.59	5.45	6.13	7.06	8.11	9.96	20.71	21.3
DL-PCB	23	2.65	3.42	5.28	5.83	7.03	9.04	11.65	14.14	26.84
TEQ _{TOT} ^d	23	6.91	8.15	11.13	12.25	14.10	16.39	23.18	30.99	48.15
Σ ₆ NDL-PCB ^e	23	44.49	61.77	88.44	103.10	124.17	168.67	245.80	252.78	381.75
Σ ₃₀ NDL-PCB ^f	23	70.25	105.01	152.77	170.64	204.80	292.17	381.39	404.85	620.25
Obeso										
PCDD+PCDF	5	5.42	6.07	9.46	8.75	9.33	12.14	13.56	13.56	13.56
DL-PCB	5	4.77	6.37	6.82	7.17	7.55	7.32	12.45	12.45	12.45
TEQ _{TOT} ^d	5	10.84	12.74	16.29	16.10	16.88	18.52	26.01	26.01	26.01
Σ ₆ NDL-PCB ^e	5	81.63	115.88	153.23	145.01	155.45	177.98	248.53	248.53	248.53
Σ ₃₀ NDL-PCB ^f	5	128.75	184.05	264.81	232.01	248.60	273.11	392.28	392.28	392.28

^a Valori espressi in pgWHO-TE97/g lb per PCDD+PCDF, DL-PCB, and TEQTOT, e in ng/g lb per Σ₆NDL-PCB e Σ₃₀NDL-PCB.

^b Numero di dati inclusi nella valutazione statistica.

^c Stima indicativa a causa del numero limitato di dati.

^d PCDD+PCDF+DL-PCB.

^e Somma dei PCB 28, 52, 101, 138, 153, 180.

^f Somma dei PCB 18, 28, 31, 33, 49, 52, 66, 70, 74, 91, 95, 99, 101, 110, 128, 138, 141, 146, 149, 151, 153, 170, 174, 177, 180, 183, 187, 194, 196, 203.

Tab10. Coefficiente di correlazione per ranghi di Spearman relativamente ai dati inerenti PCDD, PCDF, DL-PCB, e NDL-PCB nel sangue (siero) del gruppo dei lavoratori del termovalorizzatore della provincia di Torino (Gerbido); n=40; fase T0.

	Età	BMI	PCDD+PCDF	DL-PCB	TEQ_{TOT}^a	Σ₆NDL-PCB^b	Σ₃₀NDL-PCB^c
Età	1						
BMI	0.24	1					
PCDD+PCDF	0.62*	0.02	1				
DL-PCB	0.82*	0.04	0.61*	1			
TEQ_{TOT}^a	0.83*	0.04	0.83*	0.93*	1		
Σ₆NDL-PCB^b	0.81*	-0.01	0.61*	0.89*	0.88*	1	
Σ₃₀NDL-PCB^c	0.82*	0.00	0.61*	0.91*	0.88*	0.99*	1

^a PCDD+PCDF+DL-PCB.

^b Somma dei PCB 28, 52, 101, 138, 153, 180.

^c Somma dei PCB 18, 28, 31, 33, 49, 52, 66, 70, 74, 91, 95, 99, 101, 110, 128, 138, 141, 146, 149, 151, 153, 170, 174, 177, 180, 183, 187, 194, 196, 203.

* p < 0,05

Fig3. Rappresentazioni *box plot* delle distribuzioni dei risultati inerenti PCDD, PCDF, e PCB nei campioni di sangue (siero) umano prelevato da un sottogruppo di lavoratori del termovalorizzatore della provincia di Torino (Gerbido) di età compresa tra 35 e 50 (n=27). Confronto con le rispettive distribuzioni nei campioni di sangue (siero) umano prelevato dai soggetti maschili della popolazione residente nel territorio delle ASL-TO3 e ASL-TO-1 (n=52).

